

Кросс-корреляционная голография с предварительной модуляцией волнового фронта

А. В. Гнатовский,
О. В. Золочевская,
Н. В. Медведь

Институт Физики НАН Украины
Украина, 252028, Киев, проспект Науки, 46
Тел. (044) 265-9968

В данной работе описан принцип действия и экспериментальные возможности двухэлементной корректирующей голографической системы. Такая система позволяет реализовать кросс-корреляционный тип преобразования пучков, взаимодействующих с голограммой. Это, в отличие от традиционного типа, позволяет расширить область применения известных голографических методик на нестационарные лазерные пучки, что представляет практическое значение.

Корректирующие свойства любой голографической схемы связаны с фундаментальным свойством голограммы — возможностью оперировать с двумя пучками с комплексно-сопряженными амплитудами полей. Таким образом, для голограммы, записанной в момент времени t_1 , в плоскости (ξ, η) при участии поля $U(\xi, \eta) = A \exp[if(\xi, \eta)]$ в одном из дифракционных порядков пропускание $T(\xi, \eta)$ описывается выражением $T \sim A \exp[if(\xi, \eta)]$. Это позволяет при восстановлении в момент t_2 полем $U(\xi, \eta)$ устранить искажения волнового фронта, связанные с произвольным распределением $\exp[if(\xi, \eta)]$. Такой принцип действия лежит в основе известных методов компенсации aberrаций оптических элементов, схем распознавания оптических изображений, наблюдения объектов сквозь искажающую среду и т. п. [1].

Очевидно, что такие применения основаны на автокорреляционном типе преобразования полей, т. е. одинаковых на стадии записи и восстановления голограммы. Однако, в действительности более реальна ситуация, когда эти поля могут значительно различаться, что подводит нас к необходимости использовать кросс-корреляционный тип восстановления голограммы при условии $\bar{U}(\xi, \eta, t_2) \neq T(\xi, \eta, t_1)$. В литературе подобная ситуация традиционно трактуется как неблагоприятные условия, которые по возможности следует избегать.

В предлагаемой работе рассмотрен другой подход, изначально ориентированный на различие полей при записи и восстановлении голограммы. Указан возможный путь решения проблемы, состоящий в преднамеренном усложнении структуры волнового фронта используемых пучков. Приводится описание оптической схемы и принцип действия базовой корректирующей системы, а также результаты ее применения в ряде важных практических задач.

1. Оптическая схема и принцип действия корректирующей системы

В наиболее наглядном виде двухэлементной корректирующей системе с предварительной пространственной модуляцией волнового фронта соответствует схема, показанная на рис. 1. Излучение лазера L с комплексной амплитудой поля $R(x, y)$ светоделительным элементом S_p расщепляется на два пучка. Один из них — опорный — после поворотного зеркала Z_1 и телескопа T , формирующего пучок с плоским волновым фронтом, попадает на голограмму Γ . Другой пучок — сигнальный — зеркалами Z_2 и Z_3 направляется на пространственный модулятор волнового фронта с комплексным пропусканием $M(x, y)$ и после преобразования Фурье объективом O_1 попадает на голограмму. При восстановлении голограммы в общем случае изменившимся пучком $Q(x, y)$ наблюдение скорректированного пучка проводится в фокальной плоскости объектива O_2 в направлении бывшего опорного пучка.

Рассмотрим принцип действия описанной схемы. Полагаем, что модулятор $M(x, y)$ обладает свойствами диффузно рассеивающего транспаранта и позволяет мультиплицировать угловой спектр падающего на него излучения. Предполагается также, что угловой спектр модулятора значительно шире углового спектра падающего на него излучения: $F\{M\} \gg F\{R\}$, а после мультиплицирования пучка R парциальные угловые спектры $F\{R\}_k = \rho_k$ мало перекрываются друг с другом. При таких предположениях

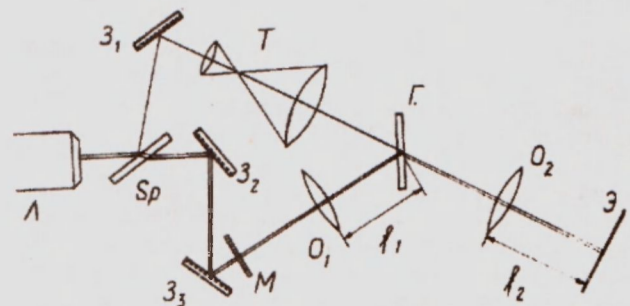


Рис. 1. Оптическая схема для записи и восстановления голограммы в корректирующей системе с предварительной модуляцией волнового фронта.

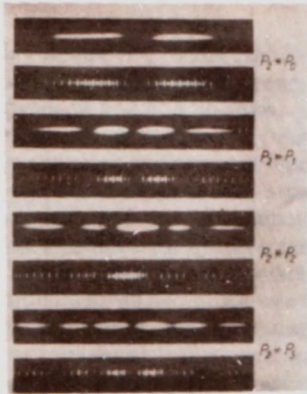


Рис. 2. Распределение энергии на фотоприемнике корректора при обычном и дискретном представлении сравниваемых полей, описываемых одномерными функциями Эрмита - Гаусса.

записанное на голограмме поле представляет набор функционально одинаковых парциальных голограмм:

$$F\{R^*M^*\} = F\{R^*\} \otimes \sum_k \delta(\xi - \xi_k, \eta - \eta_k) = \sum_k \rho_k \delta(\xi - \xi_k, \eta - \eta_k). \quad (1)$$

где $F, \otimes, *$ обозначают соответственно операторы Фурье-преобразования, свертки и комплексного сопряжения, (ξ, η) - координаты в плоскости голограммы.

При восстановлении такой голограммы полем $F\{RM\}$ в плоскости наблюдения (x', y') сформируется пучок

$$W(x', y') = F[F\{RM\} \cdot F\{R^*M^*\}] = [R \otimes R^*] \cdot \sum_k \exp(2\pi i(x' \xi_k + y' \eta_k)) \quad (2)$$

Выражение (2) описывает спекл-поле, промодулированное огибающей вида $[R \otimes R^*]$. Оно эквивалентно дифракционной картине Фраунгофера от непрозрачного экрана с K статистически независимыми одинаковыми отверстиями, пропускание которых определяется распределением R .

С другой стороны, следует учитывать, что физический механизм, реализующий (2), должен проявляться в форме, удовлетворяющей также требованию корреляционного преобразования для любого сложного поля, рассеянного модулятором. В упрощенном виде модулятор можно рассматривать как набор N' одинаковых рассеивателей с пропусканием $t(x, y) \exp if_n(x, y)$, которые произвольным образом расположены на апертуре модулятора. Полагая, что в пределах расположения $N < N'$ рассеивателей поле, падающее на модулятор, не изменяется, запишем комплексную амплитуду $M(x, y)$ в виде:

$$M(x, y) = t(x, y) \otimes \sum_n \delta(x - x_n, y - y_n) \exp if_n(x, y). \quad (3)$$

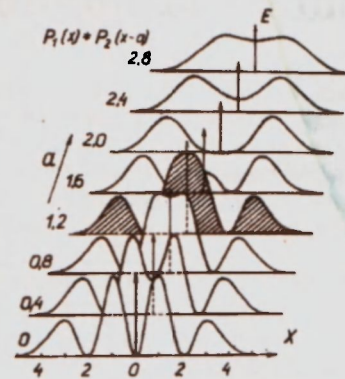


Рис. 3. Распределения пространственных кросс-корреляционных функций для двух одномерных гауссовых пучков при их взаимном поперечном смещении. Заштрихованный график соответствует оптимальному смещению.

Пространственная автокорреляционная функция для (3) с учетом теоремы свертки имеет вид:

$$K(x', y') = F[|F\{t\}|^2 \sum_n \sum_m \exp 2\pi i(x_n - x_m)\xi \times \exp 2\pi i(y_n - y_m)\eta \exp 2\pi i(f_m - f_n)] = |t \otimes t| \times \sum_n \sum_m \delta[x' - (x_n - x_m), y' - (y_n - y_m)] \exp 2\pi i(f_m - f_n) \quad (4)$$

Выражение (4) описывает спекл-поле, в котором всегда содержится детерминированный центральный максимум на нулевой пространственной частоте, обусловленный N слагаемыми с совпадающими индексами m и n и внеосевой спекл-фон, обусловленный $N(N-1)$ слагаемыми с различающимися индексами.

Следует подчеркнуть, что форма интенсивного центрального максимума не зависит от структуры поля, падающего на модулятор, и определяется только структурой рассеивателей модулятора, которые задают форму огибающей в распределении поля на апертуре голограммы. Энергетический вклад центрального максимума для автокорреляционной функции (4) при $N \rightarrow \infty$ составляет 50% [2].

Объединение механизмов (2) и (4), учитывающих образование детерминированной и фоновой частей в сформированном пучке с учетом возможного различия полей при записи и восстановлении голограмм можно осуществить в виде приближенной формулы

$$W(x', y') \approx [Q \otimes R^*] \cdot [M \otimes M^*]. \quad (5)$$

Отметим, что выражение, аналогичное (5), для случая периодического модулятора может быть строго получено в аналитическом виде [3].

Главным достоинством описанной схемы является возможность разделить структуру сформированного пучка на

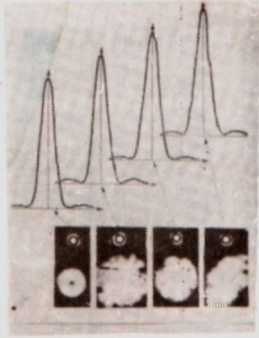


Рис. 4. Синтез пучков с улучшенной пространственной когерентностью из составных мод гелий-ионного лазера.

детерминированную и фоновую части, причем детерминированная часть определяется только модулятором и не зависит от структуры полей при записи и восстановлении голограммы. Их влияние проявляется в изменениях фоновой части сформированного пучка.

2. Применения двухэлементной корректирующей системы

2.1. Коррелятор с дискретным представлением сигнала.

В корреляционной схеме сравнения будем модулировать исследуемые оптические сигналы при помощи периодических фазовых транспарантов с комплексным пропусканием вдоль одной из декартовых координат:

$$M(x) \sim \exp \left[i \frac{M}{2} \sin 2\pi \nu x \right], \quad (6)$$

где $M/2$ – глубина фазового рельефа, ν – пространственная частота решетки. Тогда на основании (5) можно показать, что интенсивность поля в сформированном пучке описывается выражением:

$$\begin{aligned} |W(x, y)|^2 &\sim [Q \otimes R^*] \cdot [M \otimes M^*] = \\ &= [Q \otimes R^*] J_0^2 \left(M \sin \pi \nu \frac{f_1}{f_2} x \right) \end{aligned} \quad (7)$$

где f_1 и f_2 – фокусные расстояния объективов O_1 и O_2 , выполняющих Фурье-преобразование, J_0 – функция Бесселя нулевого порядка первого рода. Пространственная кросс-корреляционная функция двух сравниваемых сигналов R и Q оказывается промодулированной периодической автокорреляционной функцией пропускания модулятора. Последняя зависит как от глубины фазовой модуляции $M/2$, так и от приведенной пространственной частоты модулятора $\nu f_1/f_2$. Таким образом, выбирая из

соотношения $\Delta x' = \frac{\pi f_2}{\nu f_1}$ требуемый период «считывания»

информации, можно при увеличении рельефа модулятора существенно сузить главные максимумы его автокорреляционной функции. При этом подавляющая часть энергии исследуемого сигнала сконцентрируется в гребенке δ -вид-

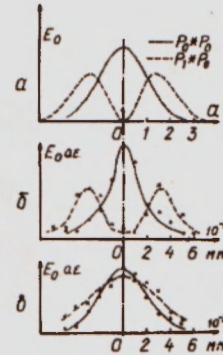


Рис. 5. Величина сигнала на нулевой пространственной частоте при корреляционном сравнении пучков P_1 и P_0 в процессе их поперечного смещения: а) расчетные кривые; б) экспериментальная зависимость без поляризационной модуляции; в) экспериментальная зависимость после поляризационной модуляции.

ных участков поля наблюдения. Поперечное смещение модулятора приводит к смещению гребенки как целого по полю сигнала. Расчеты показывают, что увеличение энергии на фотоприемнике за счет ее перераспределения может достигать 10 – 30 раз.

В качестве примера дискретного представления сигнала на рис. 2 приводятся фотографии, полученные при корреляционной обработке (обычной и дискретной) сигналов, описываемых одномерными функциями Эрмита - Гаусса

$$P_n(x) = H_n \exp \left(-\frac{x^2}{2} \right), \text{ где } H_n \text{ – полином Эрмита } n\text{-ого порядка: } H_0 = 1; H_1 = 2x; H_2 = 4x^2 - 2; \dots [4].$$

2.2. Улучшение пространственной когерентности (на примере сложных поперечных мод газовых лазеров).

Газовые лазеры в режиме наибольшей энергетической отдачи могут генерировать сложные составные поперечные моды, которые представляют собой некогерентное наложение нескольких малоперекрывающихся фундаментальных мод, описываемых функциями Эрмита - Гаусса. Поле составной моды поэтому имеет сложную структуру из перекрывающихся или изолированных модовых пятен, которые пространственно когерентны только «своим» поперечным модам и некогерентны пятнам других составляющих. Степень когерентности такого поля можно повысить, уменьшив расходимость излучения каждой составляющей и направляя преобразованное излучение каждой из них строго в одном и том же направлении. Корреляционная система, согласно соотношению (5) формально позволяет реализовать указанный алгоритм формирования пучка.

Пусть голограмма записывается при участии какой-нибудь одной моды, например близкой к плоской волне TEM_{00} , т.е. $R = P_0 = \exp \left(-\frac{x^2 + y^2}{2} \right)$, а восстанавливается составной модой $Q = \sum_s P_n^s$, где s – число пространственно

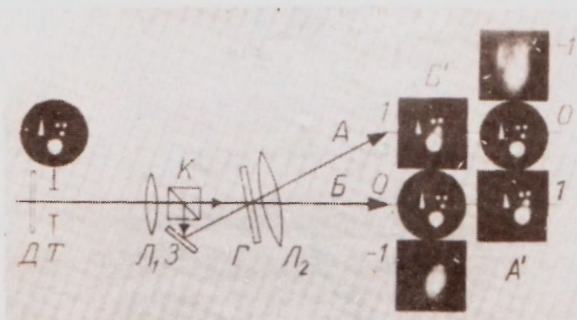


Рис. 6. Схема записи голограммы для изучения компенсации протяженности опорного источника.

некогерентных составляющих, для определенности — одномерных мод. Тогда сформированное поле можно представить в виде:

$$W(x', y') \approx \sum_s [P_n^s \otimes P_0'] \delta(x_0, y_0) \quad (8)$$

Это выражение можно трактовать как точечный источник, из которого испускается излучение всех составляющих. При этом, однако, существует трудность принципиального характера, связанная с ортогональностью функций, описывающих гауссовы пучки [4]. Вследствие этого на нулевой пространственной частоте (x_0, y_0) значение распределений $P_n \otimes P_m^* = 0$ при $n \neq m$ и достигает максимума при $n = m$.

Из этой ситуации было найдено по меньшей мере два выхода, каждый из них по сути направлен на устранение ортогональности коррелирующих гауссовых пучков P_n и P_m .

Первый состоит в том, что преобразование поля сложной моды осуществляется при незначительном поперечном смещении голограммы. В результате выражение (8) примет вид:

$$W(x', y') \approx \sum_s [P_n^s(x' - \Delta x', y' - \Delta y') \otimes P_n^*(x', y')] \delta(x_0, y_0) \quad (9)$$

поэтому все составляющие в большей или меньшей степени будут вносить свой энергетический вклад в сформированный пучок. Величина этого вклада зависит от поперечных индексов m и n составляющих, их пространственной ориентации и величины смещений $\Delta x'$ и $\Delta y'$. Численные расчеты, определяющие величину оптимального смещения, приводятся в [5]. На рис. 3 показана динамика преобразования кросс-корреляционных функций для пучков $P_1(x)$ и $P_2(x - a)$ в зависимости от величины a , позволяющая определить оптимальное смещение ($a = 1, 2$; где $a = 1$ — полуширина пучка моды P_0). На рис. 4 приводятся фотографии нескольких составных мод гелий-неонового лазера и нормированные на максимум распределения энергии в скорректированных пучках с улучшенной пространственной когерентностью.

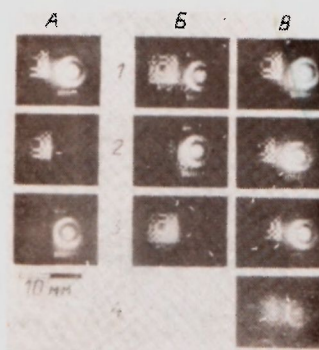


Рис. 7. Изображения транспаранта с различной симметрией фрагментов: А — при диафрагмировании источника; Б — голографические изображения при традиционной компенсации опорного пучка; В — голографические изображения, полученные при использовании двухэлементной схемы коррекции.

Другой способ устранения ортогональности в распределении полей P_n и P_m состоит в их дополнительной пространственной поляризационной модуляции, например, при прохождении через анизотропный фазовый клин. При этом пучки меняют форму волнового фронта. В данном случае необходимо использовать поляризационную запись голограммы. Экспериментальная проверка этой идеи проводилась для такой ситуации: запись голограммы осуществлялась осесимметричной модой P_0 ; преобразовывалась же составная антисимметричная мода, представляющая собой наложение трех мод P_1 , повернутых друг относительно друга на 120° . При таких предпосылках, согласно (9) при поперечном смещении a голограммы значения кросс-корреляционных распределений $P_0^*(x - a) \otimes P_1(x)$ на нулевой пространственной частоте дают распределения $E(a)$, показанные на рис. 5а. Они имеют максимум при автокорреляционном восстановлении голограмм «своей» модой и двугорбую кривую, достигающую нуля в центре, при восстановлении «чужой» модой. Эти зависимости были подтверждены экспериментально и показаны на рис. 5б. После поляризационной модуляции для любой комбинации $[P_0 \otimes P_0^*]$, $[P_1 \otimes P_0^*]$ и $[P_1 \otimes P_1^*]$ наблюдается одинаковый ход зависимости $E(a)$ (см. рис. 5в). То есть, имея до и после поляризационной модуляции одинаковые энергетические распределения $|P_n|^2$, пучки P_n после модуляции утрачивают свойство ортогональности, они перестают быть гауссовыми и теперь могут использоваться для восстановления голограмм, обеспечивающих улучшение пространственной когерентности сложной моды, согласно (8).

2.3. Схема Фурье - голографии с нестационарным сложным опорным пучком.

Описанная выше корреляционная схема с предварительной модуляцией волнового фронта естественным образом может реализоваться в наиболее общем виде схемы Фурье - голографии со сложным нестационарным опорным пучком. Необходимо только, чтобы для него выполнялись условия, обеспечивающие соотношение (5). В литературе такому вопросу практически не уделялось внимания, поскольку, начиная с основополагающей работы [6], счи-

галось необходимым соблюдать тождественность распределений поля сложного опорного пучка при записи и при восстановлении голограммы.

Предположим, что сложный опорный пучок при записи голограммы формируется после дифракции промодулированной модулятором $M(x, y)$ плоской волны на каком-либо амплитудно-фазовом транспаранте $T(x, y, t_1)$. При восстановлении же пропускание транспаранта изменяется и $T(x, y, t_2) \neq T(x, y, t_1)$. Исходя из известных соотношений для схемы Фурье - голографии [1], для получения изображения предмета, рассеивающего поле $R(x, y)$, необходимо выполнение условия:

$$M(x, y, t_2) T(x, y, t_2) \otimes M^*(x, y, t_1) T^*(x, y, t_1) \otimes R(x, y) = R(x, y). \quad (10)$$

Выполнение (10) возможно, если

$$M(x, y, t_2) T(x, y, t_2) \otimes M^*(x, y, t_1) T^*(x, y, t_1) \rightarrow \delta(x_0, y_0). \quad (11)$$

Требование (11) носит слишком общий характер, поскольку отсутствуют априорные сведения о возможной ортогональности распределений $T(x, y, t_1)$ и $T(x, y, t_2)$, о выполнении требования $M(x, y, t_1) \equiv M(x, y, t_2)$ (например, транспарант T может диафрагмировать часть апертуры модулятора). Таким образом, необходимы дополнительные экспериментальные и теоретические исследования корреляционных соотношений вида $M(t_2) \otimes M^*(t_1)$ и $T(t_2) \otimes T^*(t_1)$ для разных разнообразных классов функций.

В связи с этим рассмотрим схему рис. 6, обобщающую схему Фурье-голографии со сложным опорным пучком. Для удобства эксперимента и для наглядности эта схема модифицирована таким образом, что поле, рассеянное предметом, одновременно служило и опорным пучком. В ней модулятором является диффузно рассеивающий фазовый транспарант D , освещающий транспарант T . На голограмме записывается угловой спектр поля $T D$. Непосредственно перед голограммой часть излучения отщепляется светоделительным кубиком K и поворотным зеркалом Z направляется на голограмму, формируя опорный пучок. При восстановлении голограммы пучком A будем получать изображения, фотографии которых приводятся в колонке A' , аналогично — в колонке B . Среди приведенных фотографий следует выделить голографические изображения IB' и IA' , повторяющие изображения транспаранта T . Главной их особенностью является значительная устойчивость к изменению транспаранта T : при диафрагмировании частей транспаранта (диска, треугольника и трех точек) качество изображений практически не меняется, изменяется только отношение сигнал - шум. Таким образом, эксперимент показывает, что соотношение (11) в этом случае выполняется.

Такие же результаты получены и для других, более сложных транспарантов. Из них остановимся подробнее на транспаранте, фотография которого приведена на рис. 7, $A1$. Его особенностью является наличие двух фрагментов с

прямоугольной и осевой симметрией и, что в рассматриваемом случае важно, с малоперекрывающимися участками углового спектра t_n и t_a . При незначительном продольном смещении голограммы схема рис. 6 позволяет за счет переворачивания отщепленного пучка записать на голограмме в отсутствие модулятора поле вида:

$$U(\xi, \eta) = t_n(\xi, \eta) t_a(-\xi, -\eta) + t_a(\xi, \eta) t_n(-\xi, -\eta), \quad (12)$$

и при восстановлении получить изображение

$$T(-x', -y') \sim F\{t_n(\xi, \eta) + t_a(\xi, \eta)\} U^*(\xi, \eta) \approx F\{t_a(-\xi, -\eta) + t_n(-\xi, -\eta)\} \quad (13)$$

Записанная согласно (12) голограмма имеет интересную особенность: диафрагмируя при ее восстановлении фрагмент с осевой или с прямоугольной симметрией (рис. 7А2,3), получим изображение именно закрытого участка (см. рис. 7Б). С учетом особенностей схемы рис. 6, получение таких изображений согласуется с общеизвестной теорией компенсации протяженности опорного источника [6]. Совершенно иная ситуация возникает при записи голограммы с модулятором D , который, благодаря мультиплицирующему свойству (см. выражение (1)), позволяет реализовать соотношение (5), и, вследствие этого, (11). Полученные фотографии восстановленных изображений приведены в колонке рис. 7В. На них отчетливо видно, что независимо от структуры восстанавливающего источника изображение содержит оба фрагмента. Четвертая фотография в этой колонке получена при введении в восстанавливающий пучок дополнительной помехи в виде низкочастотной двумерной фазовой решетки.

Объяснение физического механизма, лежащего в основе полученных результатов, предлагается в [7] и связано со структурными особенностями формируемых спекл-полей.

Приведенные выше результаты не исчерпывают возможностей двухэлементной системы с кросс-корреляционным типом формирования пучков и должна стимулировать поиск новых ее применений.

Литература

1. Кольер Р., Беркхарт К., Лин Л., *Оптическая голография*. М. "Мир", 1973, 688с.
2. Гнатовский А.В., Зубрилин Н.Г., Николаев М.В. и др. Преобразование световых полей с помощью стохастических когерентно-оптических фильтров. *Укр. физ. журнал*, (1978), т. 23, 9, с. 1452-1454.
3. Гнатовский А.В., Логинов А.П. Корреляционные преобразования фронта лазерных полей. В сб. "Квантовая электроника", К. "Наукова думка", (1979), вып. 17, стр. 62-82.
4. Градштейн И.С., Рыжин И.М. *Таблицы интегралов, сумм, рядов и произведений*. М. "Наука" (1971), 1108 с.
5. Гнатовский А.В. Об эффективности коррекции гауссовых пучков голографическими методами. *Укр. физ. журнал*, (1985), т. 30, 9, с. 1313-1320.
6. Строк Дж. *Введение в когерентную оптику и голографию*. М. "Мир", 1967.
7. Гнатовский О.В., и др. Кореляційне відновлення кореляційних зображень. *Укр. фіз. журнал*, (1994) т. 39, 11, 12 с. 1075-1079. (На укр.)